

# 甘倍康<sup>®</sup> 2.0 肝癌多基因甲基化检测报告

姓名:

性别:

年龄:

样本类型:

样本接收日期:

样本条形码:

报告出具日期:

送检单位:

## 检测结果

检测项目 肝癌多基因甲基化检测

结果提示 **高风险**

## 结果解读及意义

甘倍康2.0通过对人血液中游离DNA (cfDNA)的肝癌相关基因甲基化水平进行检测, 并采用基于大量临床样本构建的AI模型进行原发性肝癌患病风险评估。

检测结果根据优泽医学检验实验室的实验检测及数据分析判读为高风险, 目前发生原发性肝细胞癌的风险较高, 建议立即就医, 进行肝脏全面深度检查。如果有肿瘤患病指征, 请遵循医嘱尽早治疗。

## 样本质控

此次样本在检测过程中, 各项指标 (符合) 血液样本质控、核酸提取质控、结果判读质控等各项质控的标准要求。

声明:

- 鉴于当前医学检验水平的限制和个体化生物学差异限制 样本中游离核酸的浓度、样本采集、保存或运输等其他因素, 即使在检测人员已经履行了工作职责和操作规程的前提下, 仍有可能出现一定的误差。
- 本检测结果仅用于科研, 不能作为临床诊断的依据。

检测人: 黎焕喜

审核人: 赵玉红

检测单位: 广州优泽医学检验实验室有限公司

# 甘倍康<sup>®</sup> 2.0 肝癌多基因甲基化检测

liver cancer gene methylation detection

## 肝癌早筛早诊的重要性及意义

甘倍康<sup>®</sup>2.0-肝癌多基因甲基化检测是前沿的突破性肿瘤早筛技术，DNA甲基化水平的改变与癌症发生密切相关。甘倍康<sup>®</sup>2.0通过采集静脉血检测肝癌特异多基因甲基化的变化，及时发现早期肝癌。整个检测无创，精准，早期肝癌检出率高。

## 技术来源

甘倍康2.0采用了最前沿的CHALM甲基化分析方法和机器学习技术对数轮血液cfDNA的甲基化测序数据进行分析，从近400万个甲基化位点中挖掘和筛选检测肝癌灵敏度、特异性以及稳定性最优的3个肝癌标志物，采用独家酶定位识别甲基化分子检测技术，可识别10拷贝以内甲基化差异，并构建出基于血液cfDNA甲基化的机器学习模型用于肝癌的检测。



### 创新筛查技术

无须排队预约，避免肝癌高危人群频繁进行影像学检查。



### 早期

相对于传统筛查手段，早期肝癌检出率更高



### 便捷准确

无创无痛，无需空腹，仅需5ml外周血，检测结果客观准确



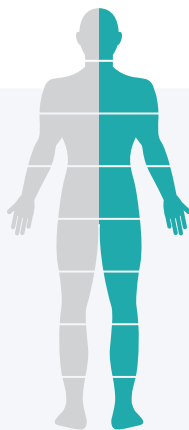
### 甲基化分子检测技术

采用独家酶定位识别甲基化分子检测技术，可识别10拷贝以内甲基化差异

## 适用人群

### 各种原因所致的肝硬化：

- 乙型肝炎病毒 (HBV) 感染
- 丙型肝炎病毒 (HCV) 感染
- 长期酗酒 (酒精性肝病)
- 肝脂肪变性或代谢功能障碍相关性肝病
- 药物性肝损伤
- 自身免疫性肝病
- Wilson病等



### 致癌物的长期暴露人群：

- 黄曲霉毒素
- 马兜铃酸
- 明确接触致癌物史等

### 有肝癌家族史

- 年龄40岁以上的男性
- 代谢综合征 (如糖尿病)
- 肥胖和吸烟等

## 参考文献：

1. Xia C, Dong X, Li H, Cao M, Sun D, He S, Yang F, Yan X, Zhang S, Li N, Chen W. Cancer statistics in China and United States, 2022: profiles, trends, and determinants. Chin Med J (Engl). 2022 Feb 9. doi: 10.1097/CM9.0000000000002108. Epub ahead of print. PMID: 35143424.
2. 表观遗传学(遗传学分支学科). 2009年科学出版社出版的图书. 百度百科.
3. Esteller M (2008). Epigenetics in cancer. N Engl J Med 358(11):1148-1159.
4. Identifying epigenetic modifications leads to earlier cancer detection. B26 | March 2022 | www.nature.com/biopharm - deal.
5. Ruihua Xu, Wei Wei et al., Circulating tumour DNA methylation markers for diagnosis and prognosis of hepatocellular carcinoma, Nature Materials, 2017, Vol 16, 1155-1161. doi: 10.1038/NMAT4997.